

Normale estimation using the k-Voronoi covariance measure

Louis Cuel

Université de Grenoble
Laboratoire Jean Kuntzman

Université de Savoie
LAMA

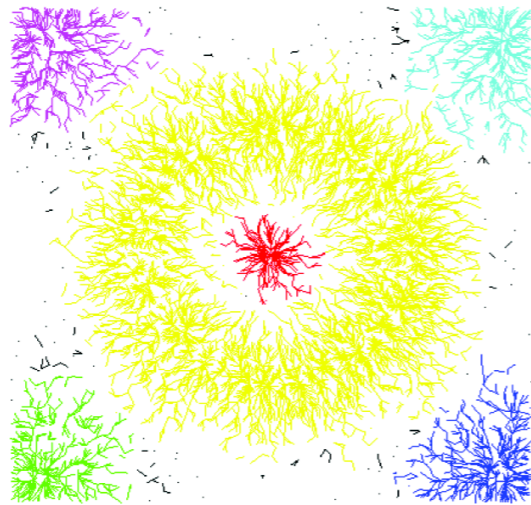
Collaboration : J.O. Lachaud, Q. Mérigot, B. Thibert

Journées Informatique Géométrie, 14/11/2013

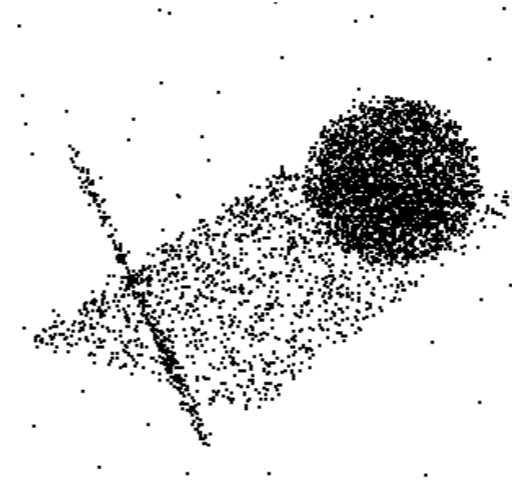
Inférence Géométrique

- Soit :
- Un objet inconnu K (ensemble compact) de \mathbb{R}^d
 - Un ensemble fini de points $P \subseteq \mathbb{R}^d$ approximant K .

Que peut on dire de la topologie et de la géométrie de K ?



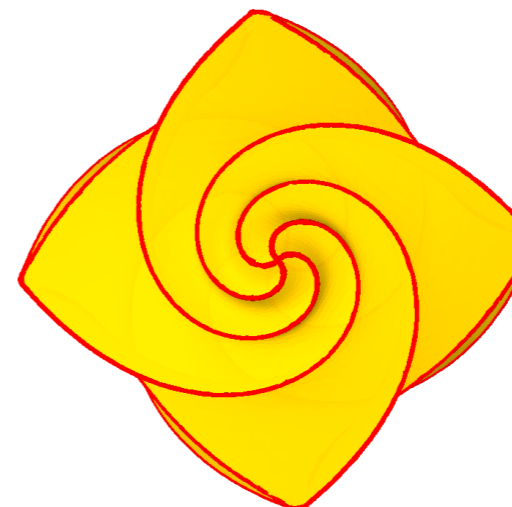
#composantes connexes



dimension intrinsèque



courbure



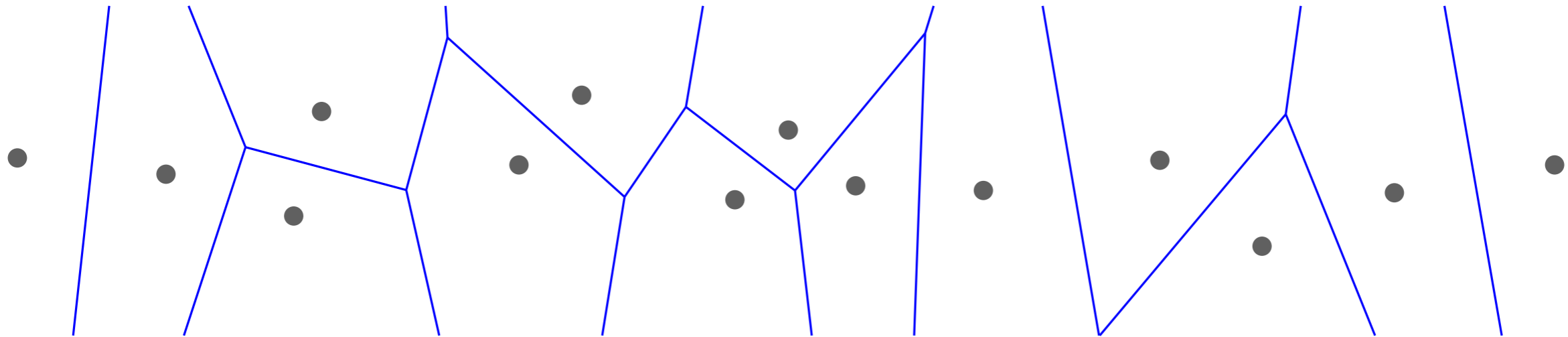
détection d'arête

- Pouget, Cazals ['04]; Chazal, Cohen-Steiner, Lieutier, Thibert ['08] ...

Travaux précédents

1. algorithmes basés Voronoi :

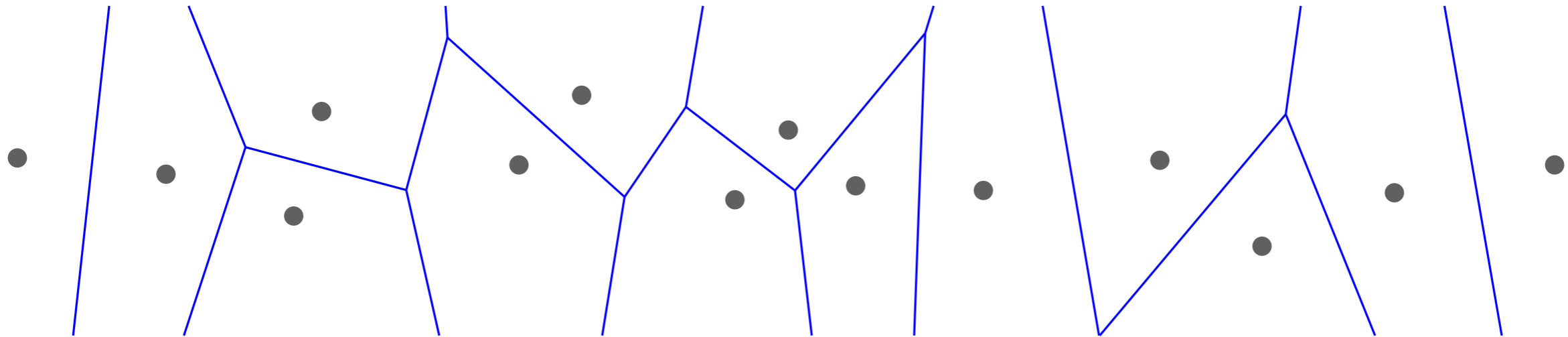
- Amenta et Bern, 1999, Surface reconstruction by Voronoi filtering
- Cohen-Steiner et al., 2007, Voronoi-based Variational Reconstruction
- Merigot et al., 2009, Robust Voronoi-based Curvature and Feature Estimation



Travaux précédents

1. algorithmes basés Voronoi :

- Amenta et Bern, 1999, Surface reconstruction by Voronoi filtering
- Cohen-Steiner et al., 2007, Voronoi-based Variational Reconstruction
- Merigot et al., 2009, Robust Voronoi-based Curvature and Feature Estimation



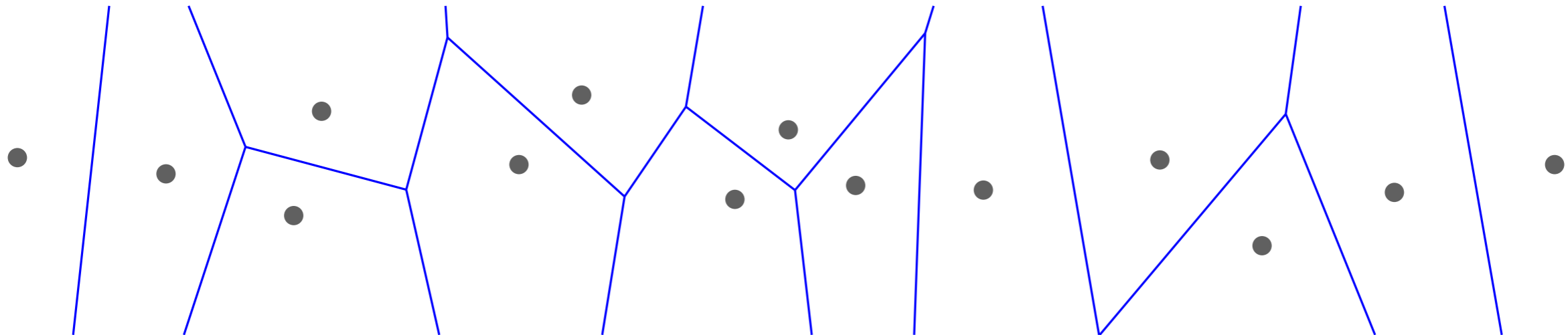
2. Distance à une mesure :

- Merigot et al., 2010, Geometric Inference for probability measure

Travaux précédents

1. algorithmes basés Voronoi :

- Amenta et Bern, 1999, Surface reconstruction by Voronoi filtering
- Cohen-Steiner et al., 2007, Voronoi-based Variational Reconstruction
- Merigot et al., 2009, Robust Voronoi-based Curvature and Feature Estimation

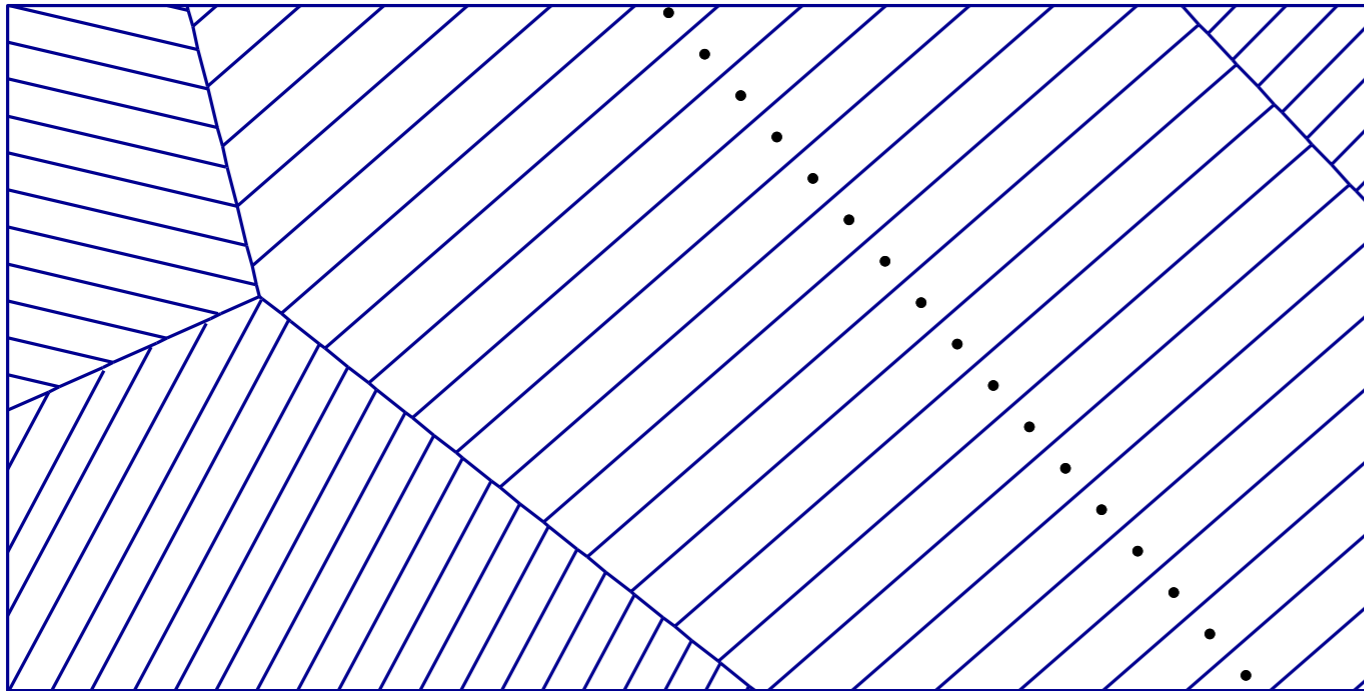


2. Distance à une mesure :

- Merigot et al., 2010, Geometric Inference for probability measure

Notre approche = 1 + 2

Normal estimation based on Voronoi

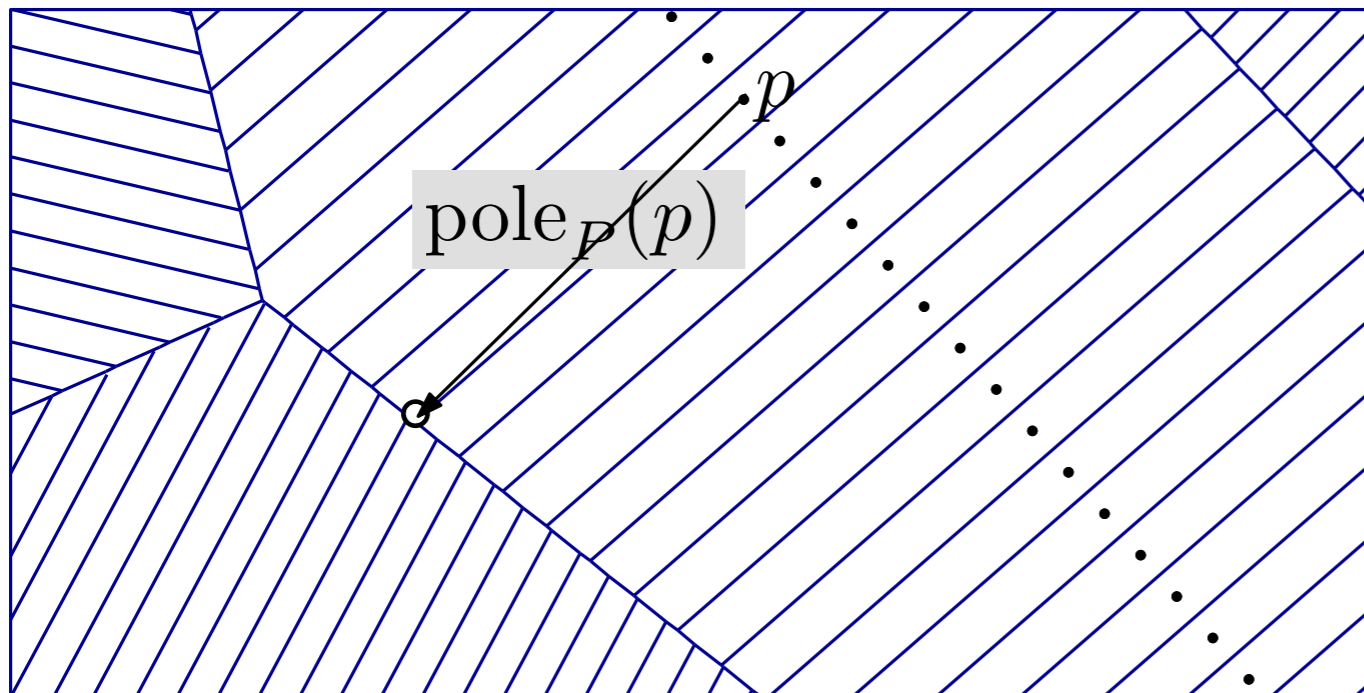


$$P = \{p_1, \dots, p_N\} \subseteq \mathbb{R}^d$$

Définition :

Voronoi cell: $\text{Vor}^P(q) =$ points whose closest point in P is q

Normal estimation based on Voronoi



$$P = \{p_1, \dots, p_N\} \subseteq \mathbb{R}^d$$

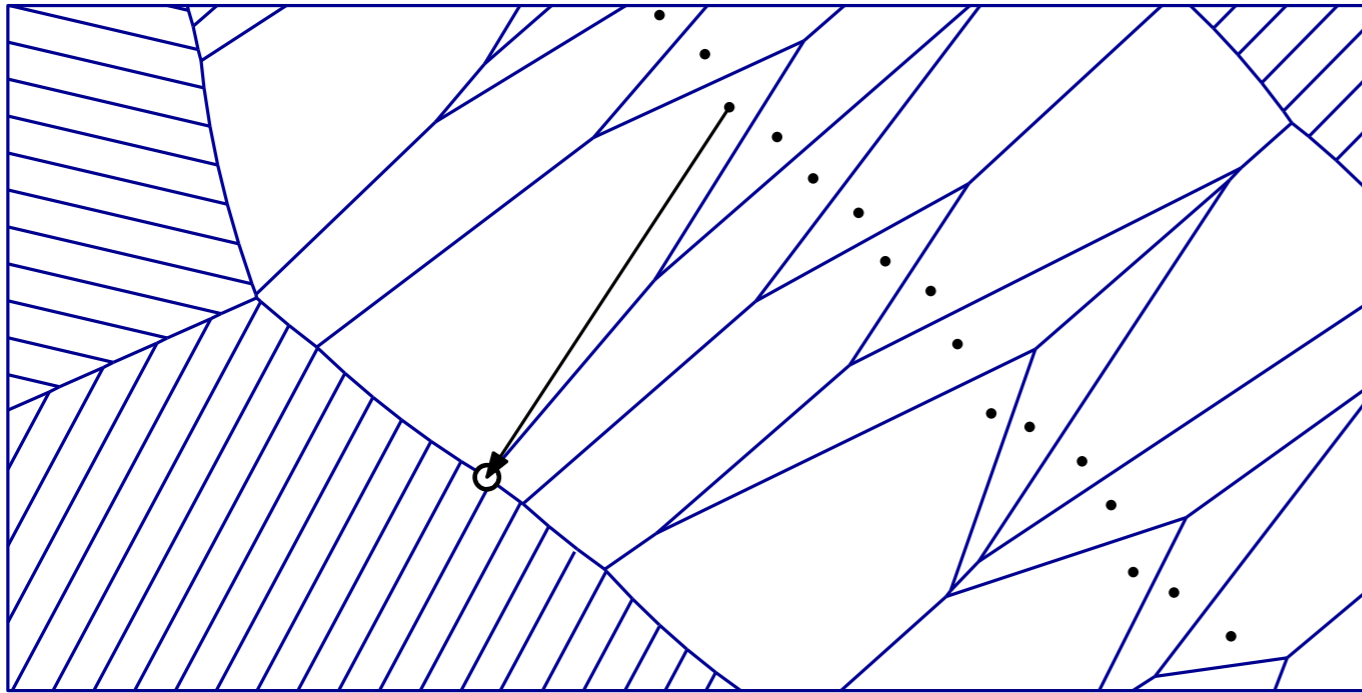
Définition :

Voronoi cell: $\text{Vor}^P(q) =$ points whose closest point in P is q

$\text{pole}_P(p) :=$ le point le plus loin de p dans $\text{Vor}_P(p)$

Amenta, Bern, *Discrete and Computational Geometry* **22** (1999)

Normal estimation based on Voronoi



$$P = \{p_1, \dots, p_N\} \subseteq \mathbb{R}^d$$

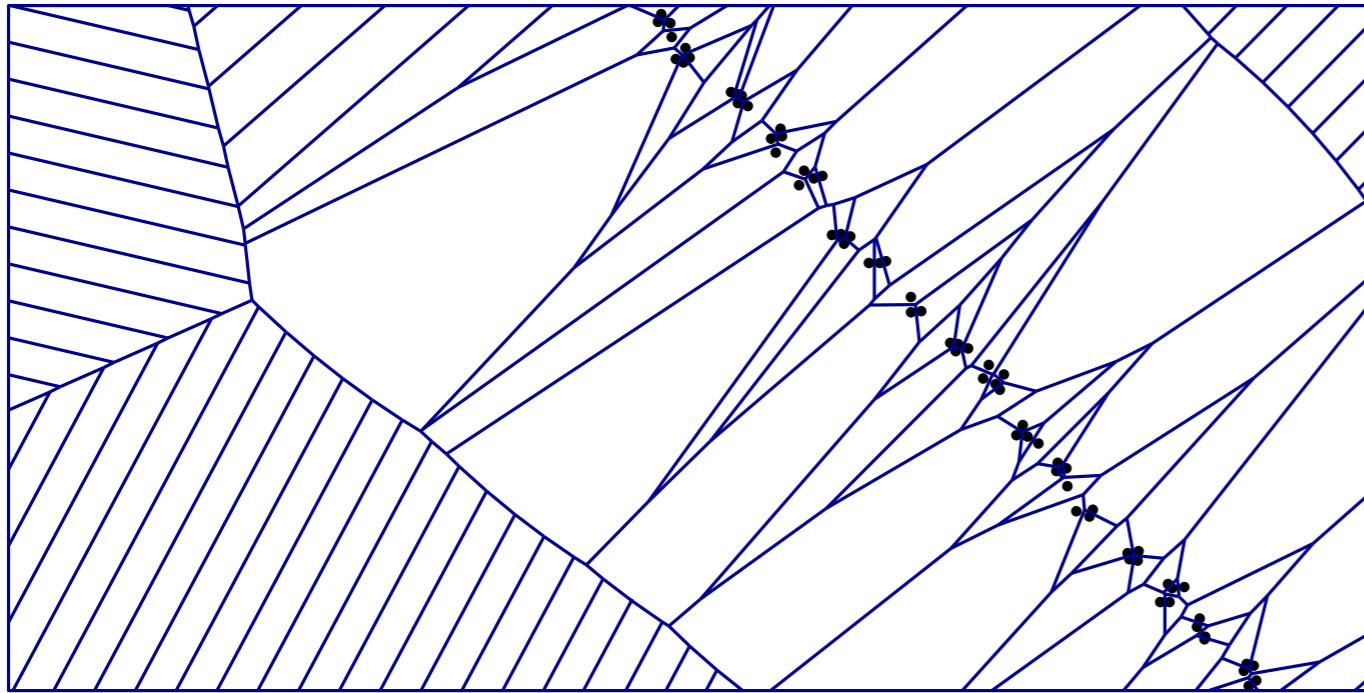
Définition :

Voronoi cell: $\text{Vor}^P(q) =$ points whose closest point in P is q

$\text{pole}_P(p) :=$ le point le plus loin de p dans $\text{Vor}_P(p)$

Amenta, Bern, *Discrete and Computational Geometry* **22** (1999)

Normal estimation based on Voronoi



$$P = \{p_1, \dots, p_N\} \subseteq \mathbb{R}^d$$

Définition :

Voronoi cell: $\text{Vor}^P(q) =$ points whose closest point in P is q

$\text{pole}_P(p) :=$ le point le plus loin de p dans $\text{Vor}_P(p)$

Amenta, Bern, *Discrete and Computational Geometry* **22** (1999)

idée : intégrer pour obtenir de la stabilité.

Voronoi Covariance

Alliez, Cohen-Steiner, Tong, Desbruns, Proc. Symposium Geometry Processing 2007

Matrice de Covariance: $\text{cov}_p(\Omega) := \int_{\Omega} (x - p)(x - p)^{\mathbf{t}} \, dx.$

Les vecteurs propres de $\text{cov}_p(\Omega)$ sont les **axes principales** de Ω (vu depuis p).

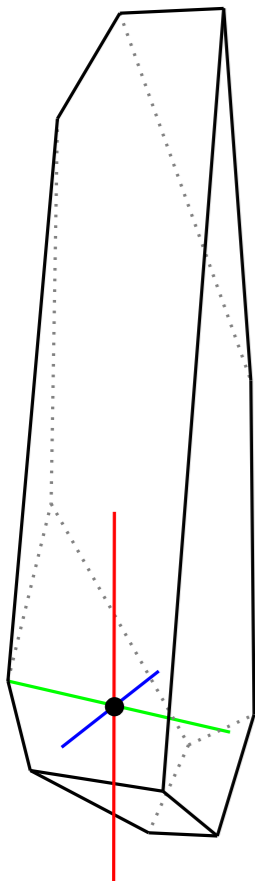
Voronoi Covariance

Alliez, Cohen-Steiner, Tong, Desbruns, Proc. Symposium Geometry Processing 2007

Matrice de Covariance: $\text{cov}_p(\Omega) := \int_{\Omega} (x - p)(x - p)^t dx$.

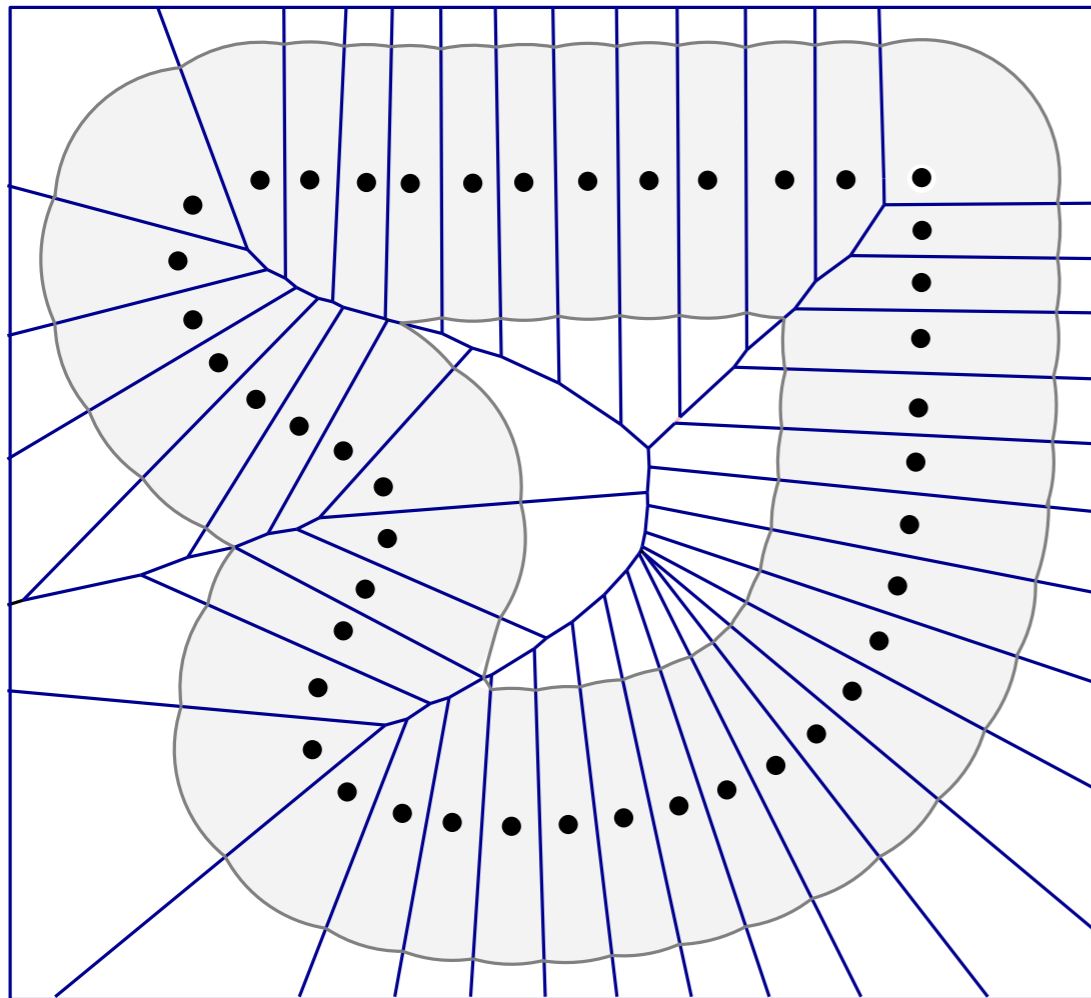
Les vecteurs propres de $\text{cov}_p(\Omega)$ sont les **axes principales** de Ω (vu depuis p).

Algorithm:



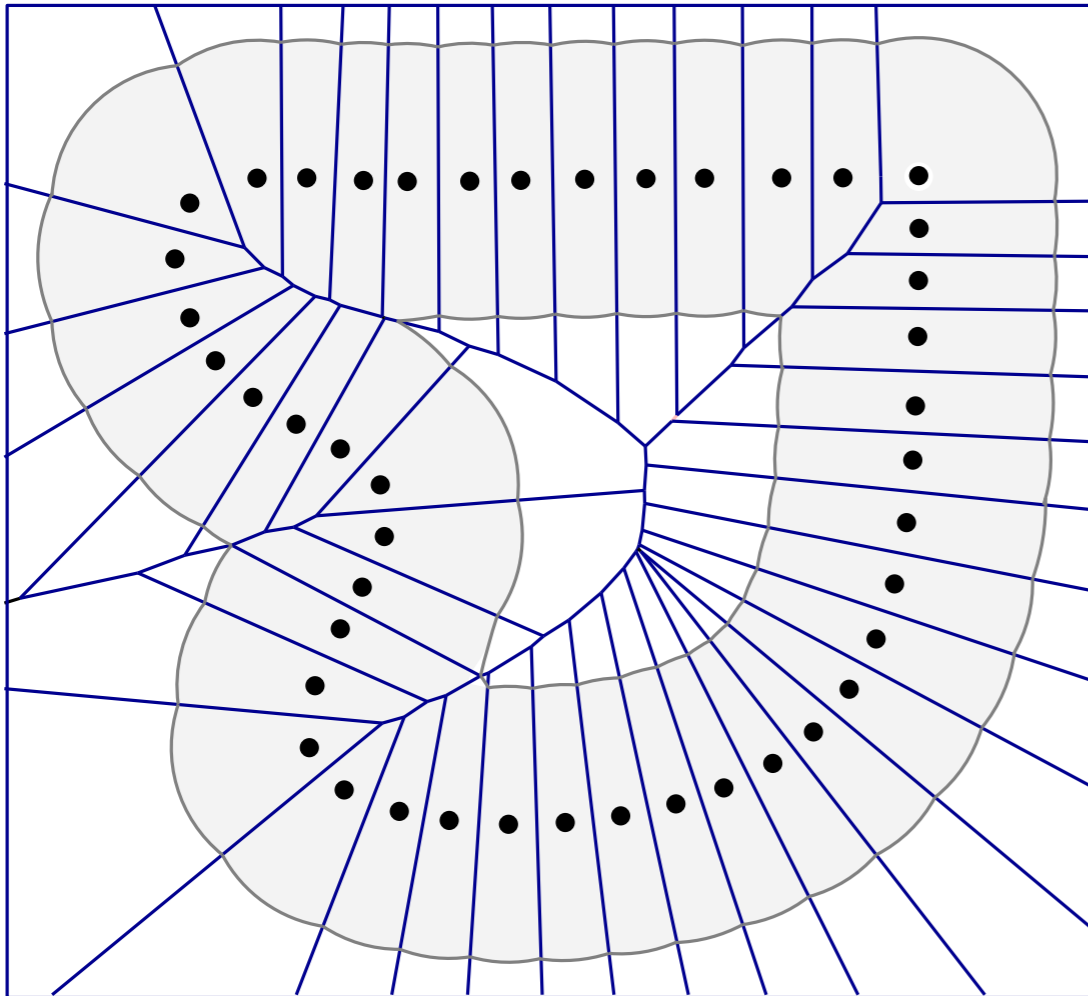
- Ils considèrent : $\Omega = \text{Vor}_P(p_i) \cap E$
- La normale est estimée par le vecteur propre correspondant à la plus grande valeur propre (en rouge).
- Pour la stabilité au bruit, ils somment les matrices sur un voisinage.

Voronoi covariance measure



Definition: L'offset de P de rayon R est $P^R = \cup_{p \in P} B(p, R)$.

Voronoi covariance measure



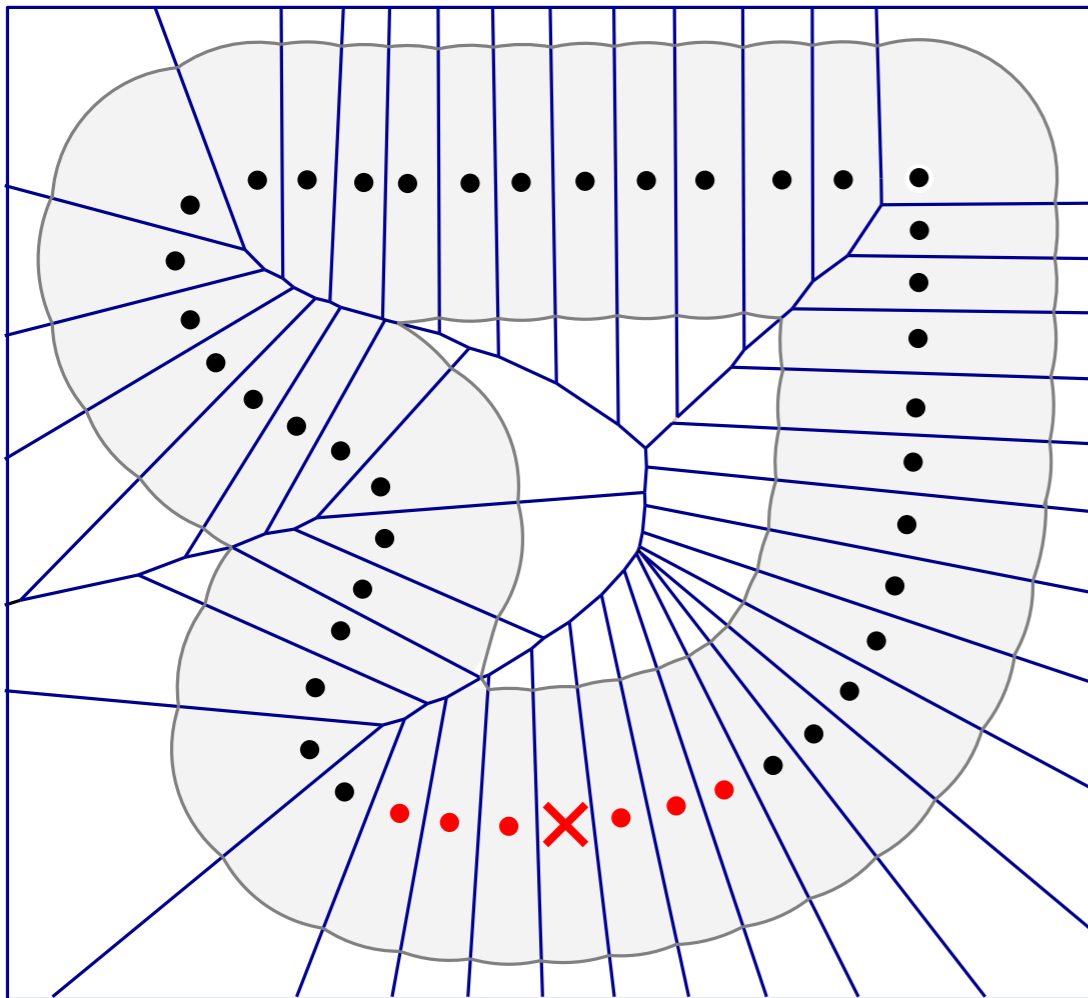
Definition: L'offset de P de rayon R est $P^R = \cup_{p \in P} B(p, R)$.

$$A(p) := \text{cov}_p(\text{Vor}_P(p_i) \cap P^R)$$

Definition: Le *voronoi covariance measure* de P de rayon d'offset R est

$$\mathcal{V}(P, R) := \sum_{i=1}^N A(p) \delta_p$$

Voronoi covariance measure



Definition: L'offset de P de rayon R est $P^R = \cup_{p \in P} B(p, R)$.

$$A(p) := \text{cov}_p(\text{Vor}_P(p_i) \cap P^R)$$

Definition: Le *voronoi covariance measure* de P de rayon d'offset R est

$$\mathcal{V}(P, R) := \sum_{i=1}^N A(p) \delta_p$$

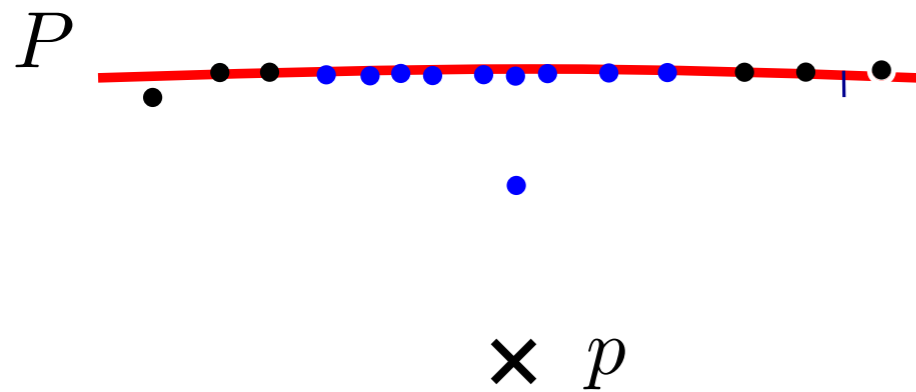
$$\mathcal{V}(P, R) * \chi_r(p) := \sum_{p_i \in B(p, r)} A(p_i)$$

Le VCM est défini pour tout compact.

Theorem: Soit P, K deux compacts et $p \in \mathbb{R}^d$.

$$\|\mathcal{V}(P, R) * \chi_r(p) - \mathcal{V}(K, R) * \chi_r(p)\| = O(d_H(K, P)^{\frac{1}{2}})$$

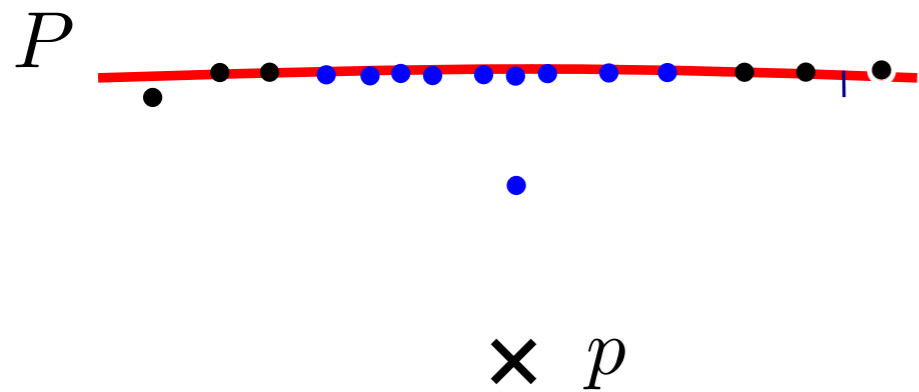
Distance à une mesure



Definition: La distance à une mesure de paramètre k (ou k -distance) est défini par :

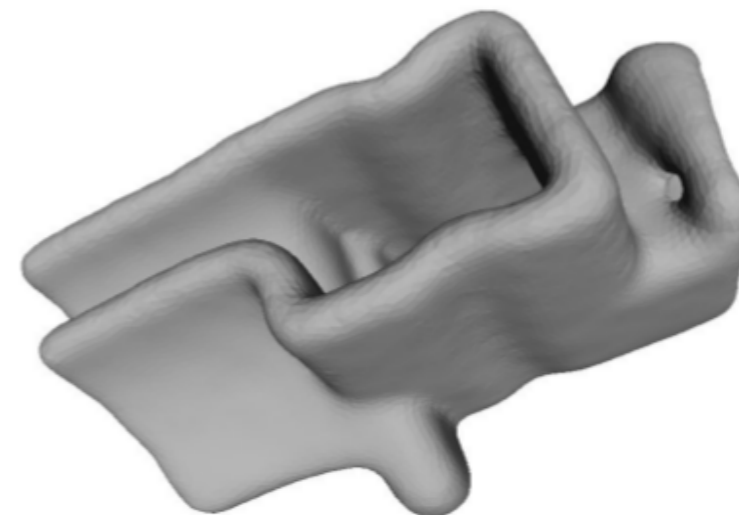
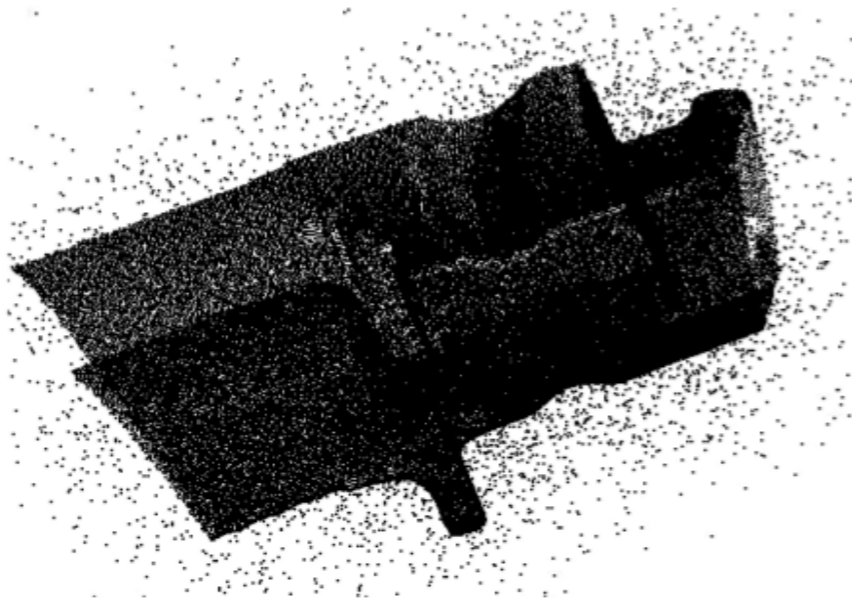
$$d_{k,P}^2(p) = \frac{1}{k} \sum_{p_i \in NN_k(p)} \|p - p_i\|^2$$

Distance à une mesure



Definition: La distance à une mesure de paramètre k (ou k -distance) est défini par :

$$d_{k,P}^2(p) = \frac{1}{k} \sum_{p_i \in NN_k(p)} \|p - p_i\|^2$$

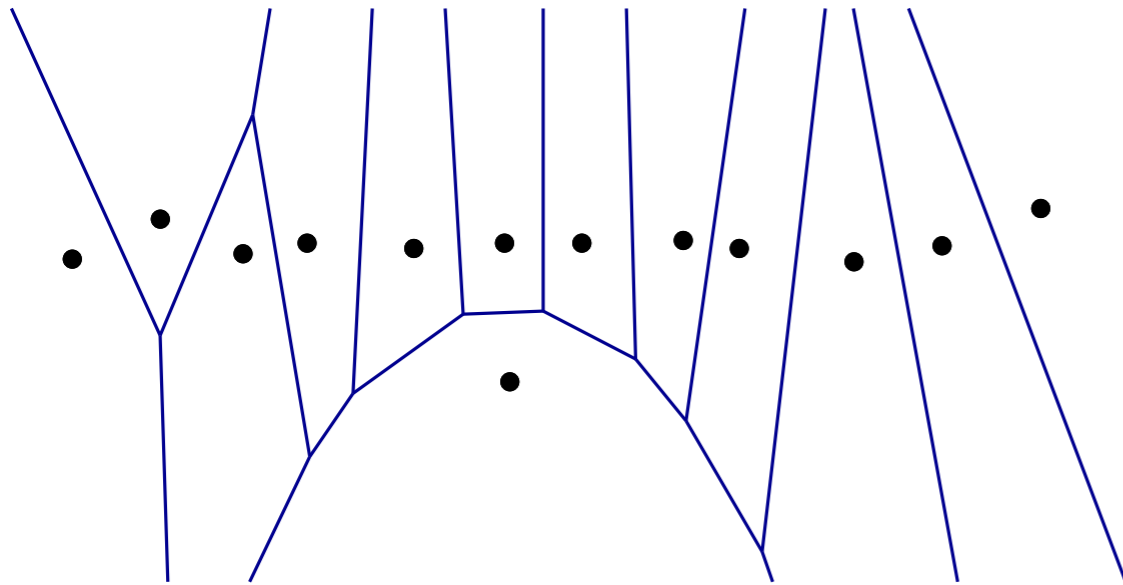


Théorème : soit P, K deux ensembles compacts et \mathbb{R}^d .

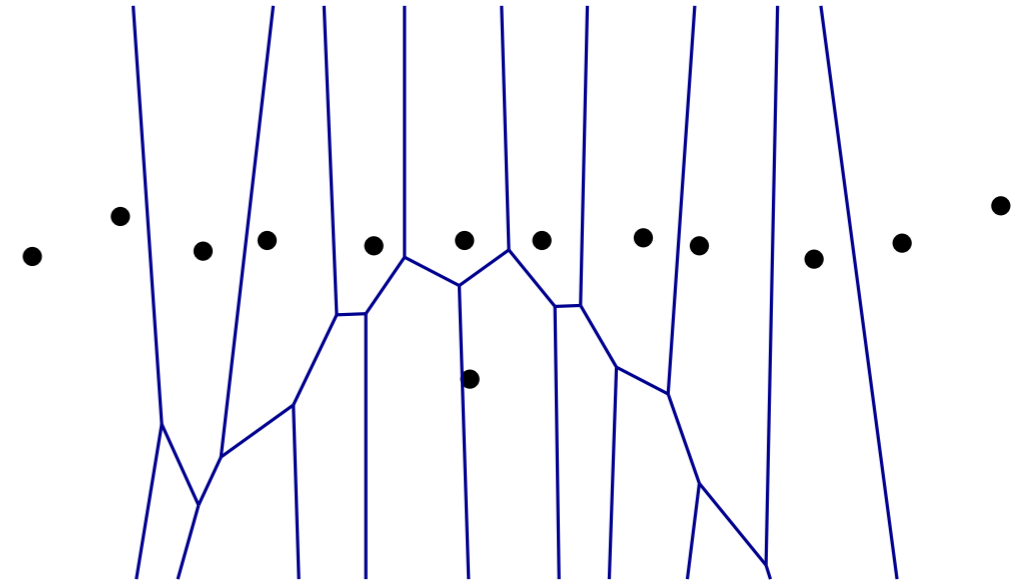
$$\|d_{P,k} - d_{K,k}\| \leq \frac{1}{\sqrt{k}} W_2(\mu_P, \mu_K)$$

k-Voronoi covariance measure

VCM

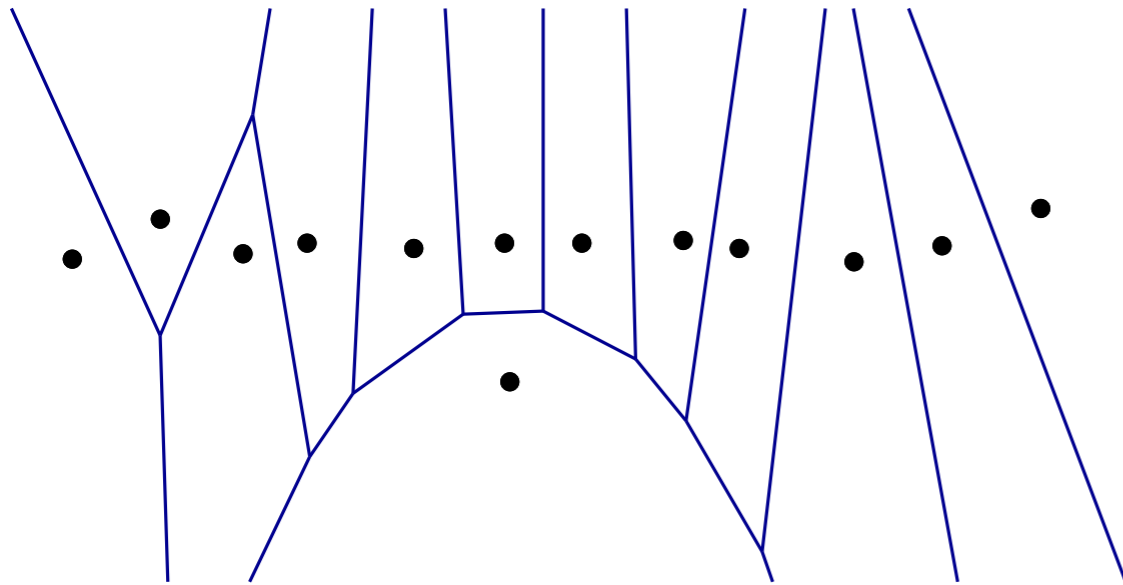


k-VCM



k-Voronoi covariance measure

VCM

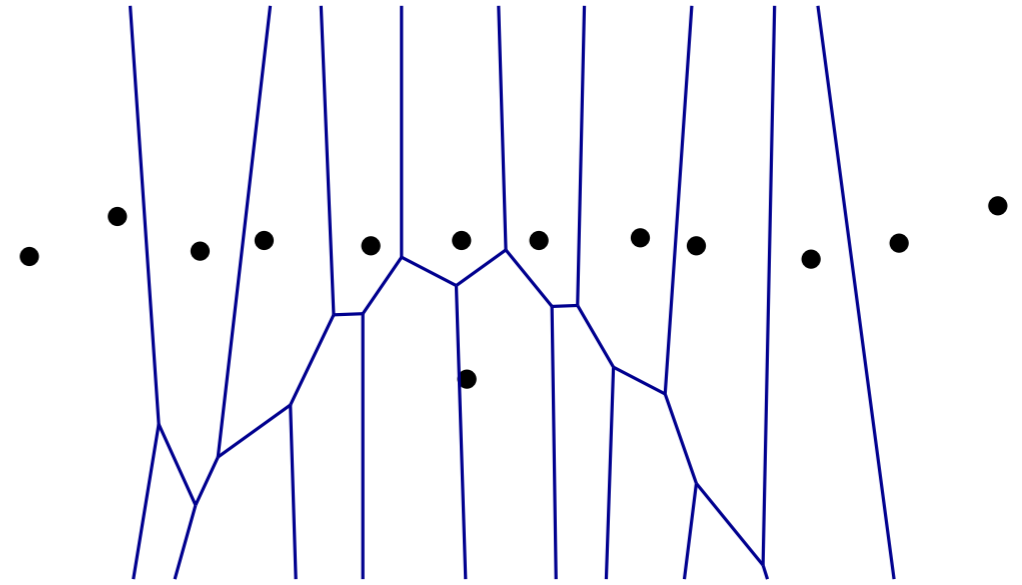


$$A(p) :=$$

$$\int_{\text{Vor}_P(p) \cap PR} (x - \pi(x))(x - \pi(x))^t dx.$$

$$\mathcal{V}(P, R) * \chi_r(p) := \sum_{p_i \in B(p, r)} A(p_i)$$

k-VCM



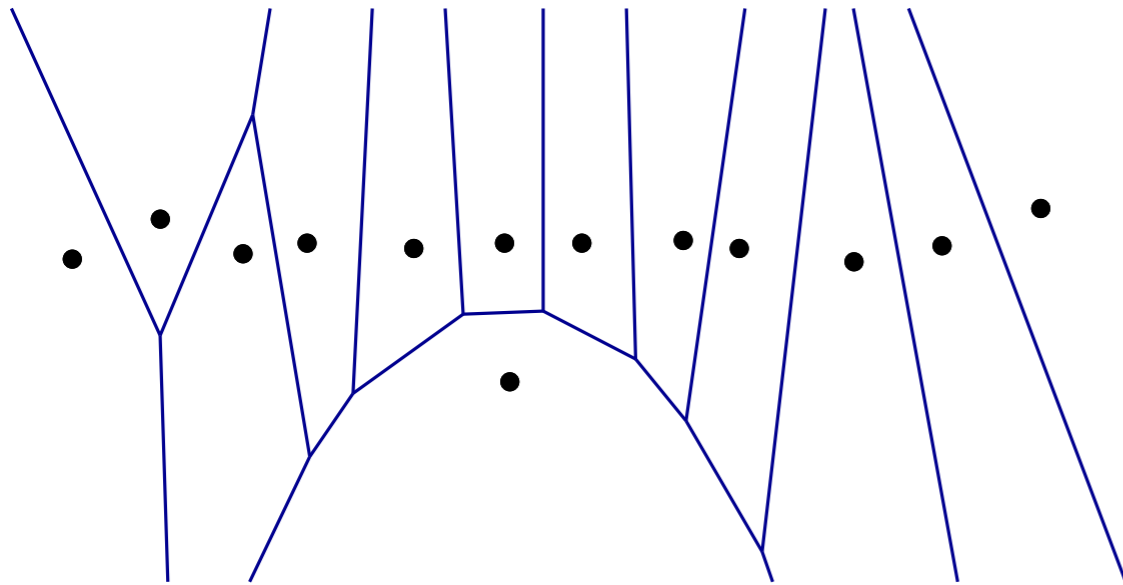
$$A_k(p) :=$$

$$\int_{\text{Vor}_k^P(p) \cap \tilde{P}R} (x - \pi_k(x))(x - \pi_k(x))^t dx.$$

$$\mathcal{V}_k(P, R) * \chi_r(p) := \sum_{p_i \in B(p, r)} A_k(p_i)$$

k-Voronoi covariance measure

VCM



$$A(p) :=$$

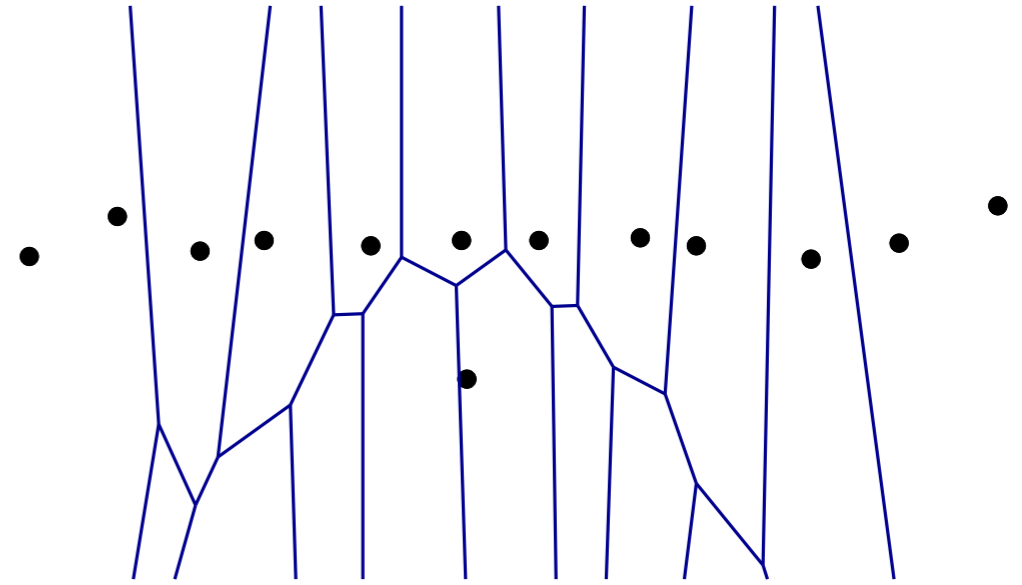
$$\int_{\text{Vor}_P(p) \cap PR} (x - \pi(x))(x - \pi(x))^t dx.$$

$$\mathcal{V}(P, R) * \chi_r(p) := \sum_{p_i \in B(p, r)} A(p_i)$$

Théoreme: Soit P, K compacts et $p \in \mathbb{R}^d$.

$$\begin{aligned} & \|\mathcal{V}(P, R) * \chi_r(p) - \mathcal{V}(K, R) * \chi_r(p)\| \\ &= O(d_H(K, P)^{\frac{1}{2}}) \end{aligned}$$

k-VCM



$$A_k(p) :=$$

$$\int_{\text{Vor}_k^P(p) \cap \tilde{P}R} (x - \pi_k(x))(x - \pi_k(x))^t dx.$$

$$\mathcal{V}_k(P, R) * \chi_r(p) := \sum_{p_i \in B(p, r)} A_k(p_i)$$

Théoreme: Soit P, K compacts et $p \in \mathbb{R}^d$.

$$\begin{aligned} & \|\mathcal{V}_k(P, R) * \chi_r(p) - \mathcal{V}(K, R) * \chi_r(p)\| \\ &= O(\|d_{P,k} - d_K\|_{\infty}^{\frac{1}{2}}) \end{aligned}$$

Preuve du théorème de stabilité

$$\int_{\text{Vor}_k^P(p) \cap d_{P,k}^{-1}([0, R])} (x - \pi_k^P(x))(x - \pi_k^P(x))^{\mathbf{t}} dx - \int_{\text{Vor}^K(p) \cap K^R} (x - \pi^K(x))(x - \pi^K(x))^{\mathbf{t}} dx$$

- Contrôler la différence symétrique des deux domaines d'intégration :

$$\left[\text{Vor}_k^P(p) \cap d_{P,k}^{-1}([0, R]) \right] \Delta \left[\text{Vor}_k^K(p) \cap K^R \right] = O(\|d_{P,k} - d_K\|_\infty)$$

Preuve du théorème de stabilité

$$\int_{\text{Vor}_k^P(p) \cap d_{P,k}^{-1}([0,R])} (x - \pi_k^P(x))(x - \pi_k^P(x))^{\mathbf{t}} dx - \int_{\text{Vor}^K(p) \cap K^R} (x - \pi^K(x))(x - \pi^K(x))^{\mathbf{t}} dx$$

- Contrôler la différence symétrique des deux domaines d'intégration :

$$\left[\text{Vor}_k^P(p) \cap d_{P,k}^{-1}([0,R]) \right] \Delta \left[\text{Vor}_k^K(p) \cap K^R \right] = O(\|d_{P,k} - d_K\|_\infty)$$

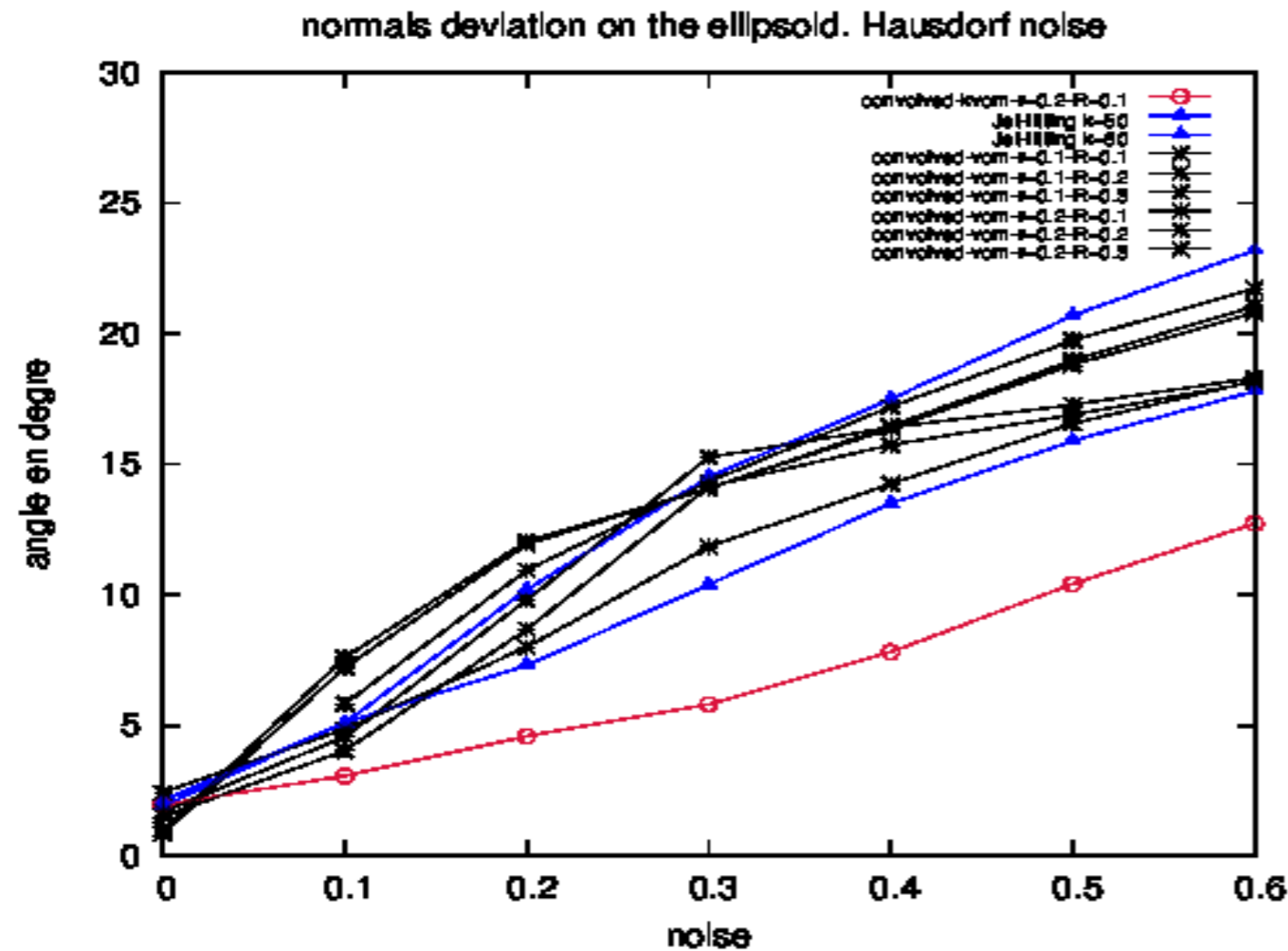
- Contrôler le terme : $\|\pi_k^P(x) - \pi^K(x)\|$

- **Théorème** : f et g localement convexes sur E tq $\text{diam}(\nabla f(E) \cup \nabla g(E))$ est borné, alors

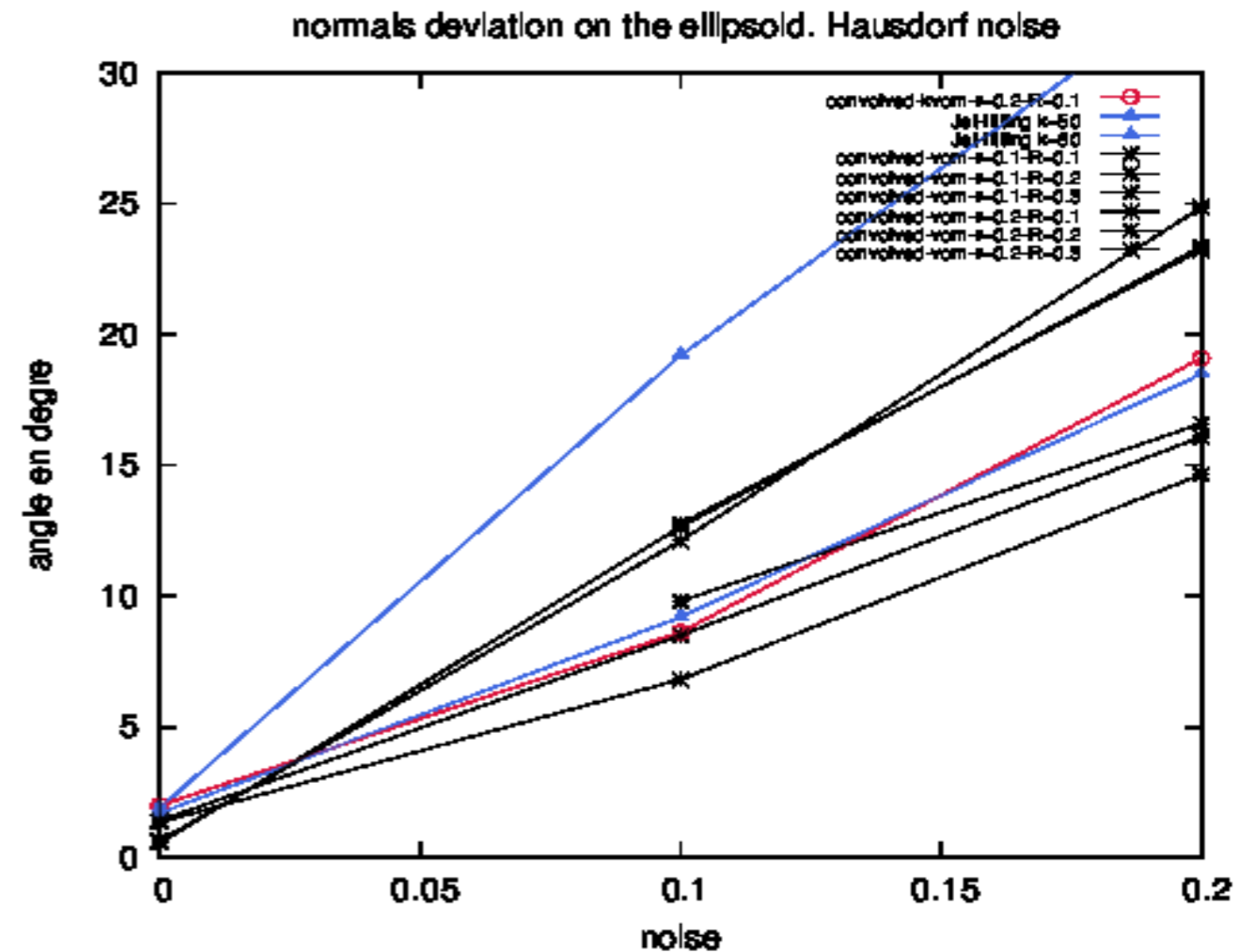
$$\|\nabla f - \nabla g\|_{L_1(E)} = O(\|f - g\|_\infty^{\frac{1}{2}})$$

Estimation de Normale : Ellipsoïde

Déviations de la normale en fonction du bruit.
Comparaison avec le Jet fitting et le VCM.



bruit Hausdorff + outliers

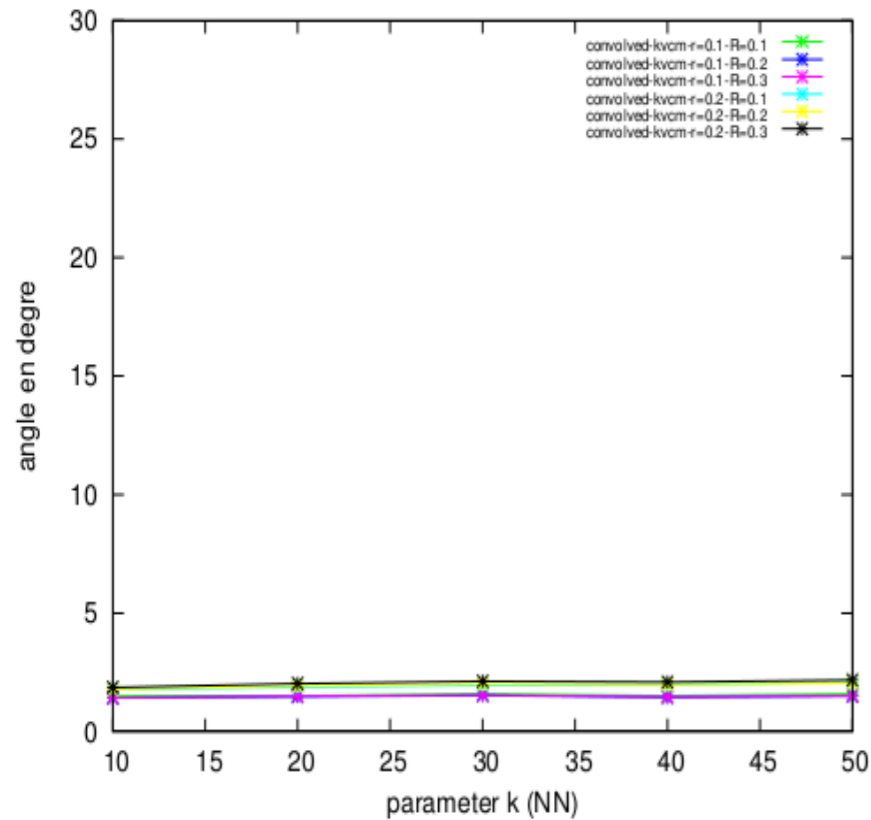
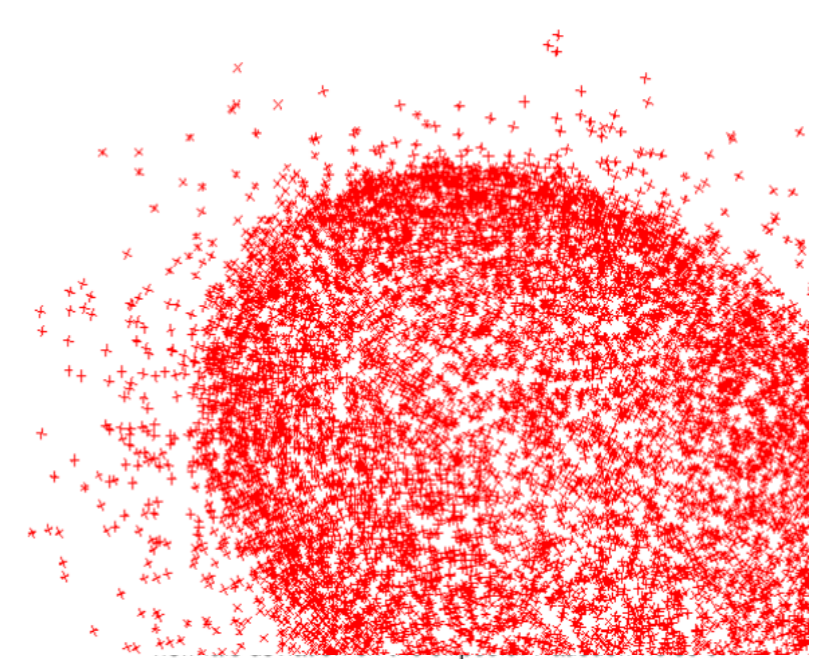
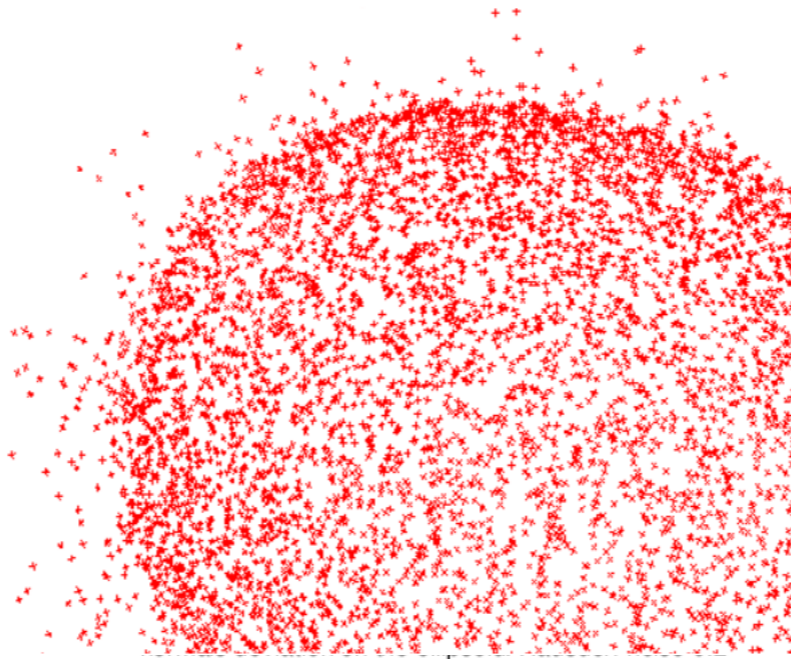
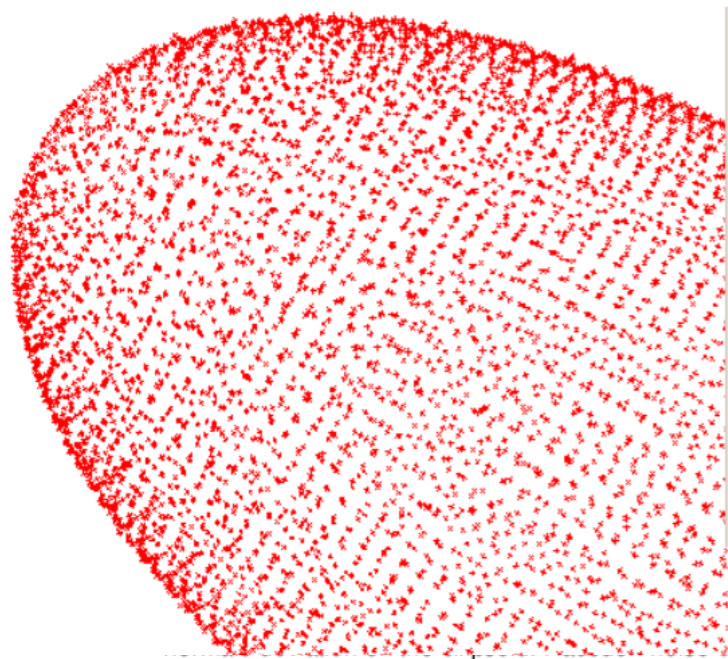


bruit Gaussien

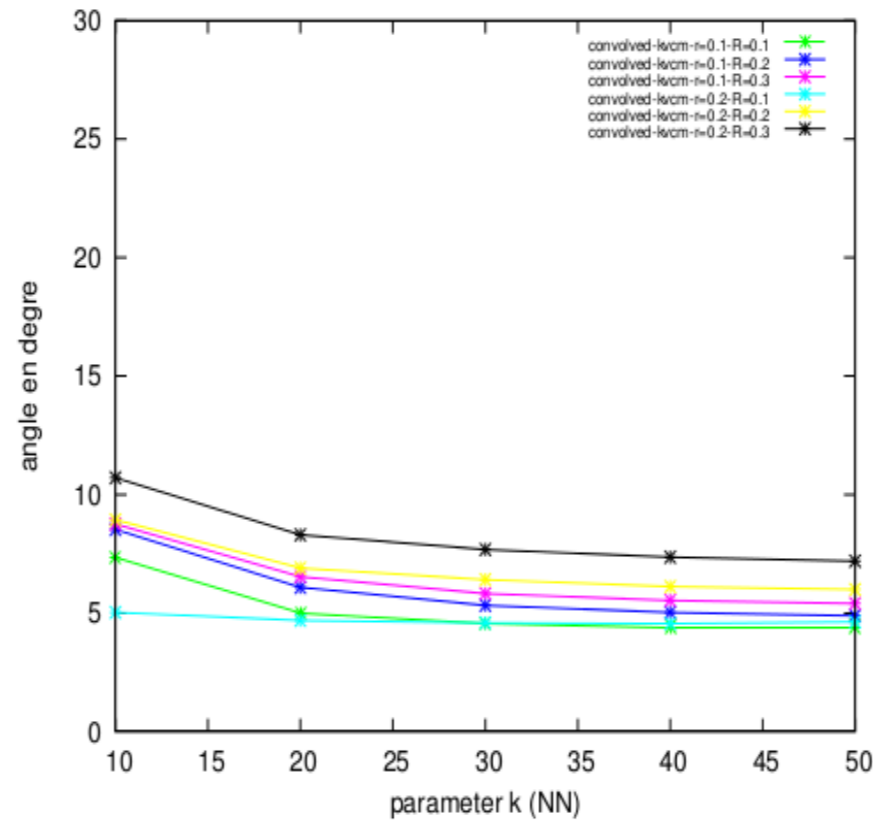
- 10k points

Estimation de Normale : Ellipsoïde

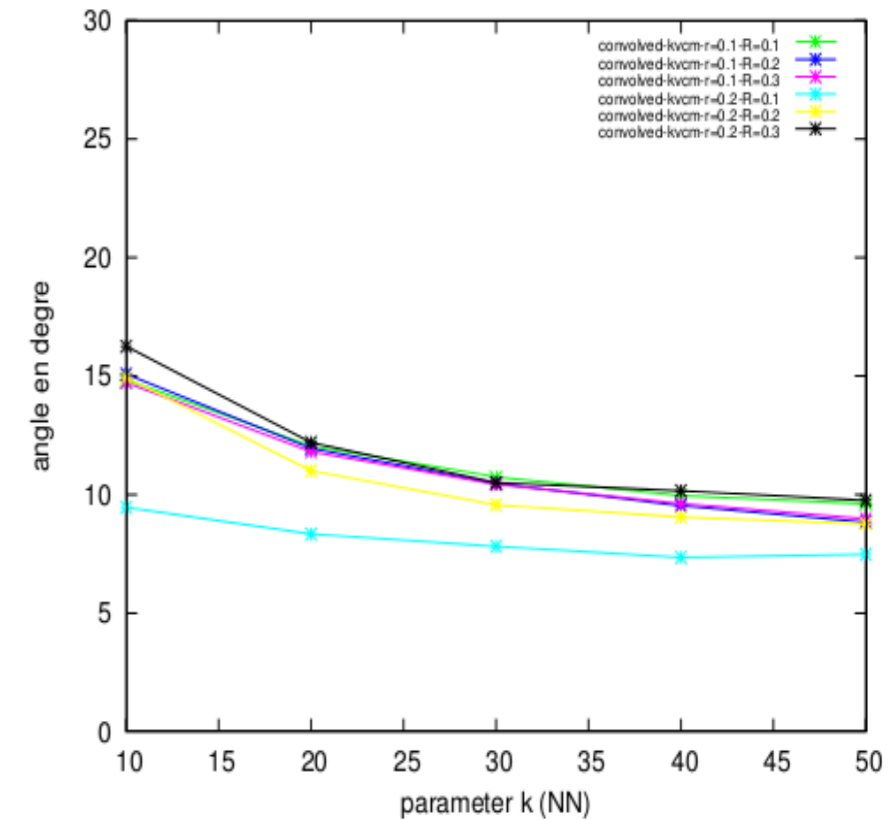
Sensibilité aux paramètres.



$\varepsilon = 0$

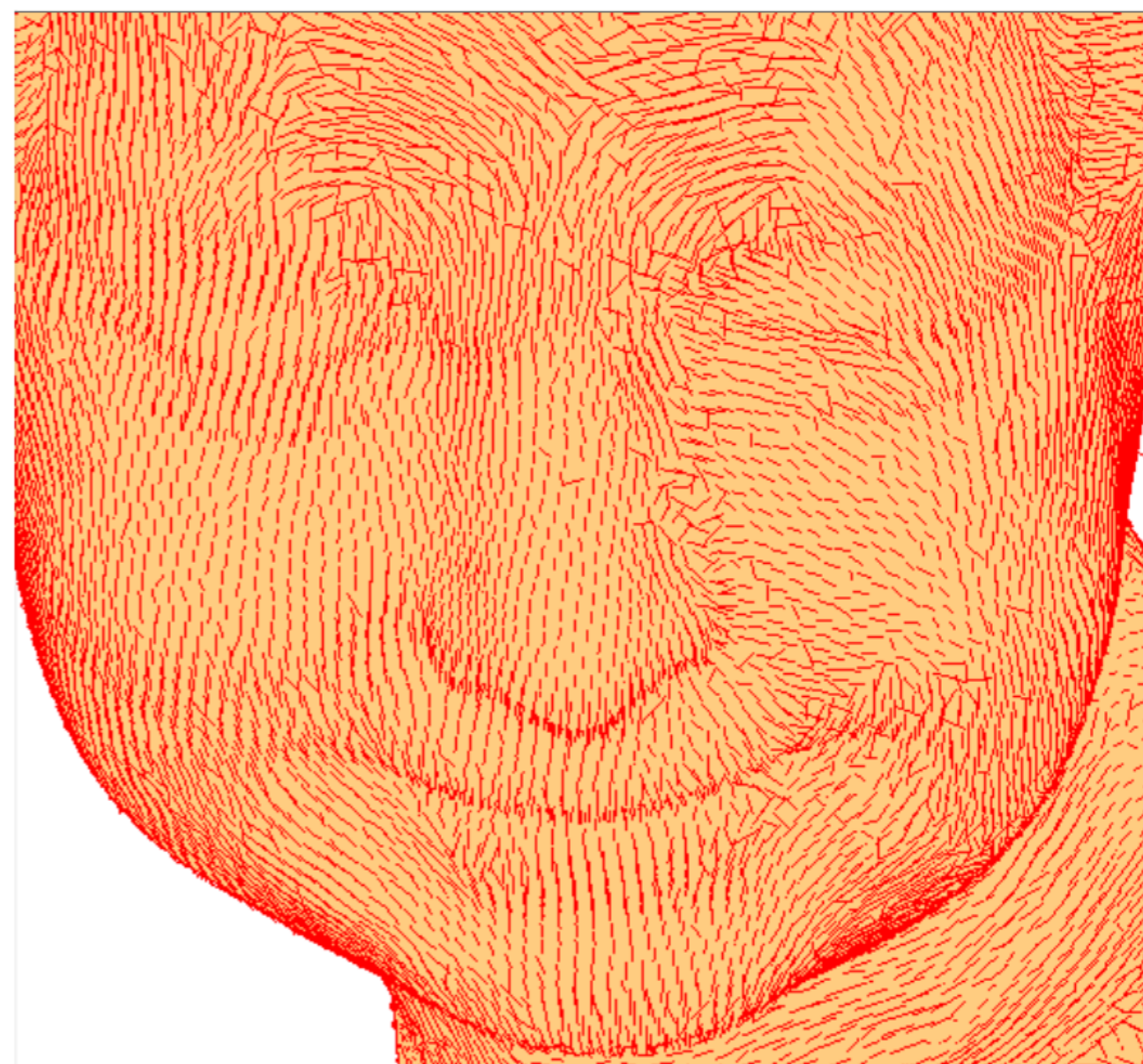
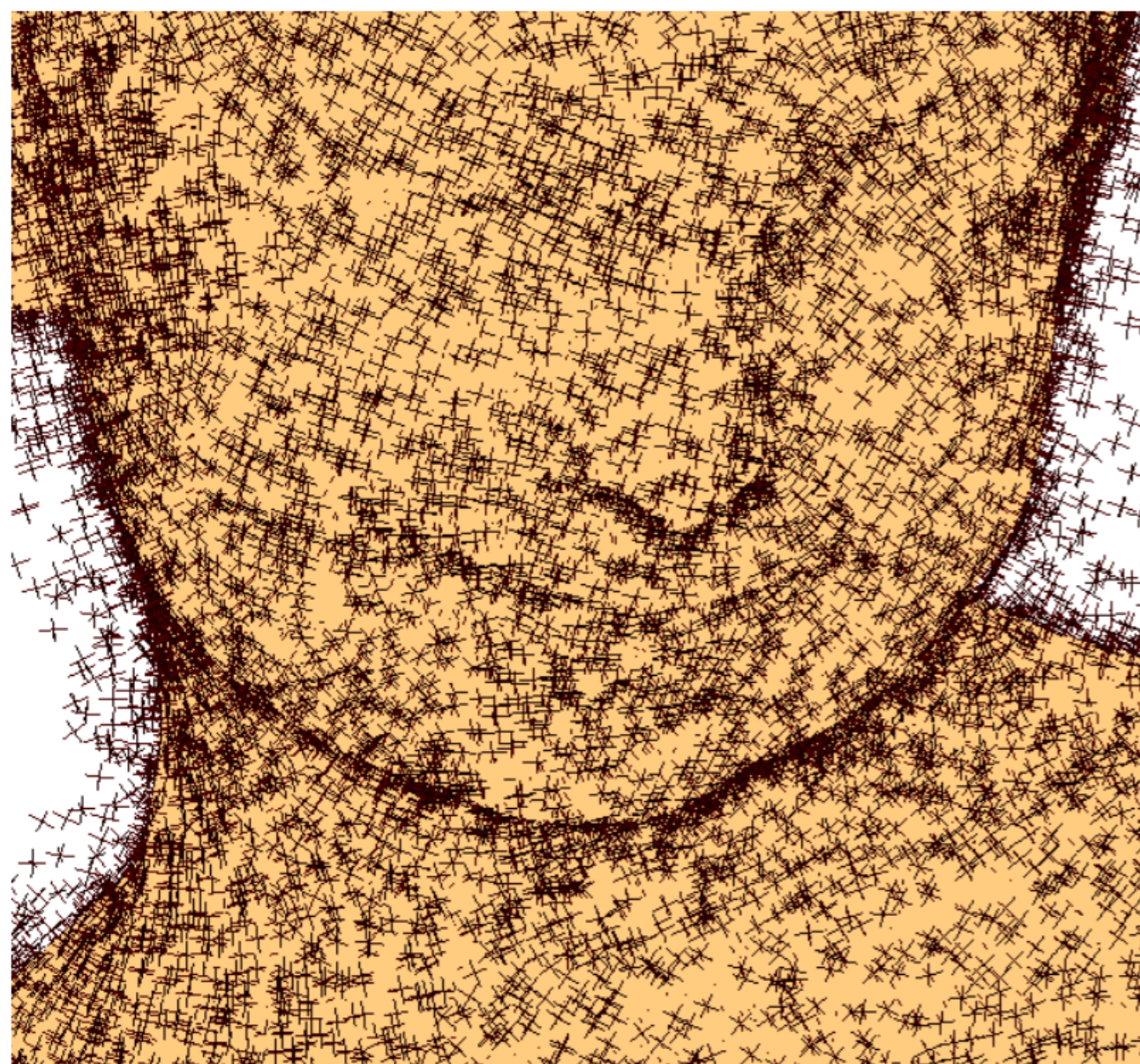


$\varepsilon = 0.2$



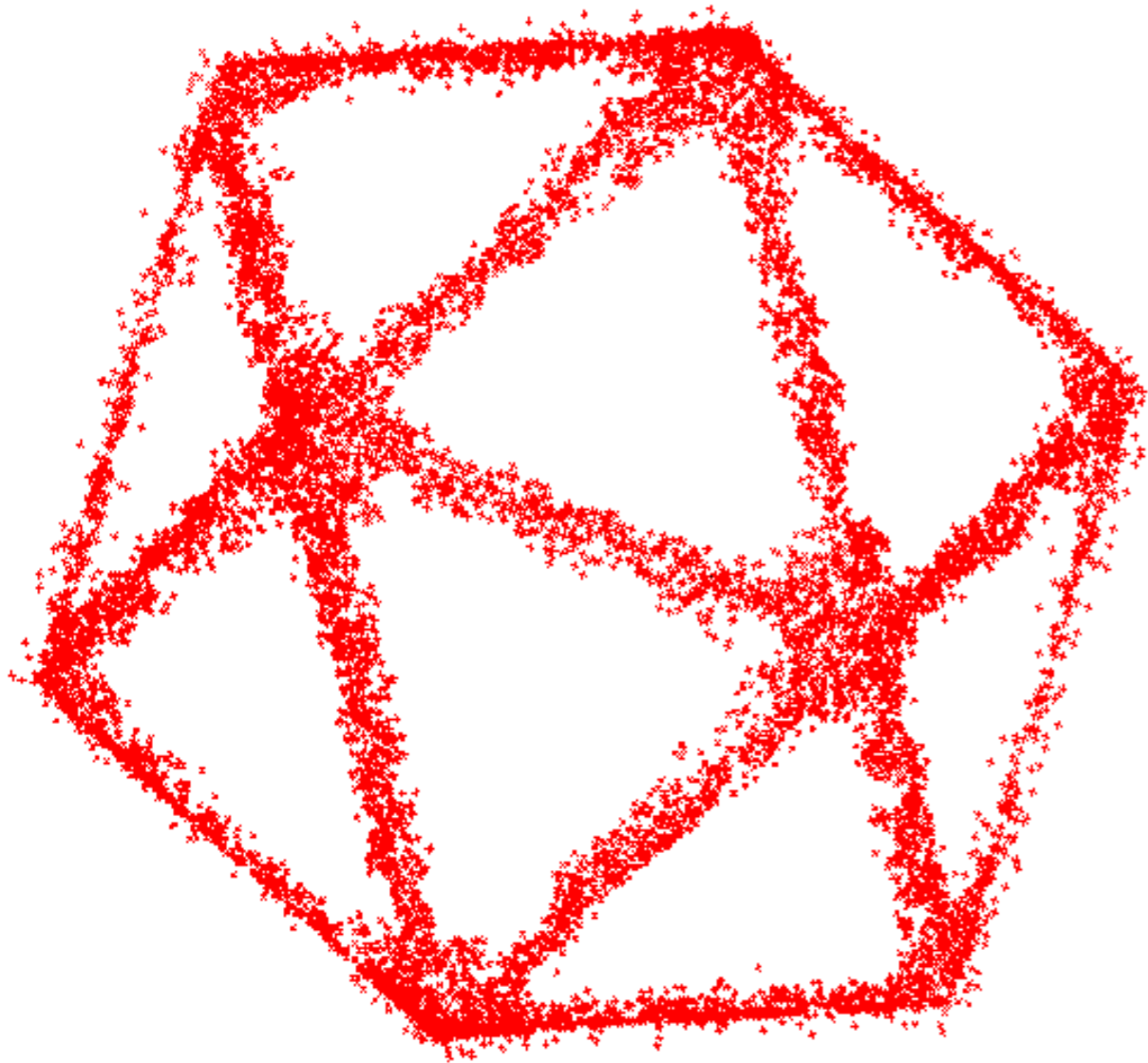
$\varepsilon = 0.4$

Estimation des directions de courbure

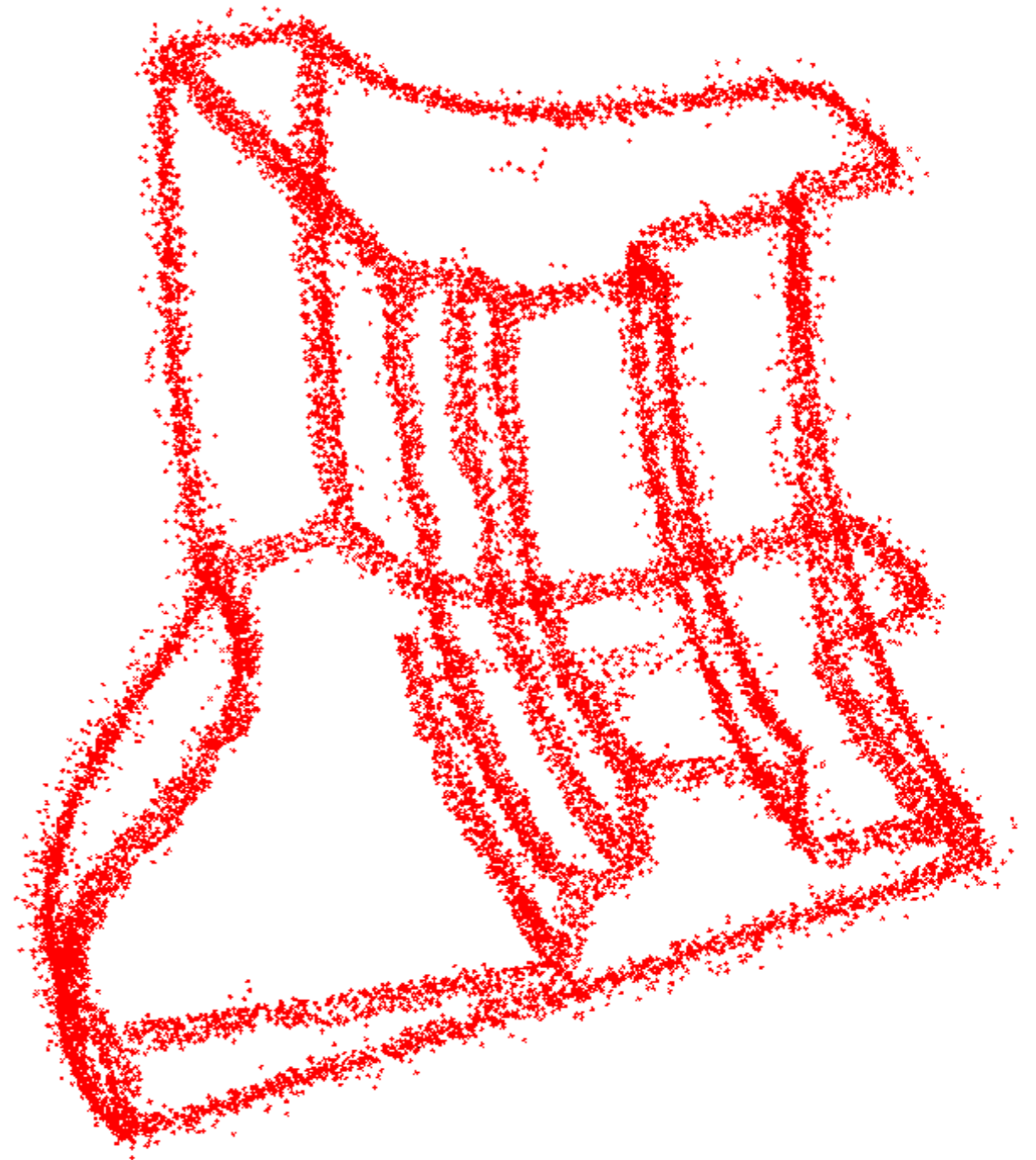


Bimba 100k points

Détection des arêtes

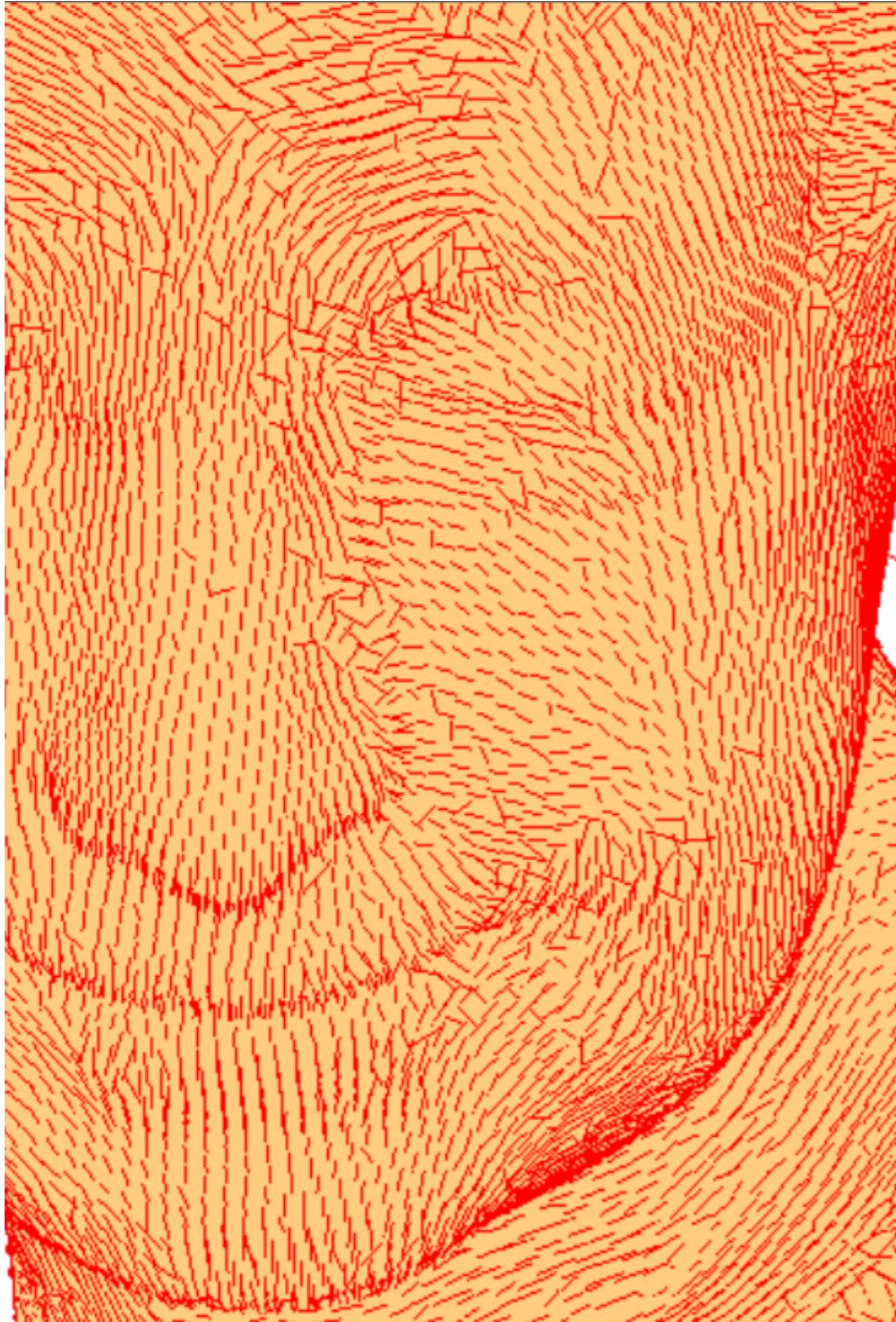


dodécaèdre 50k points



fandisk 50k points

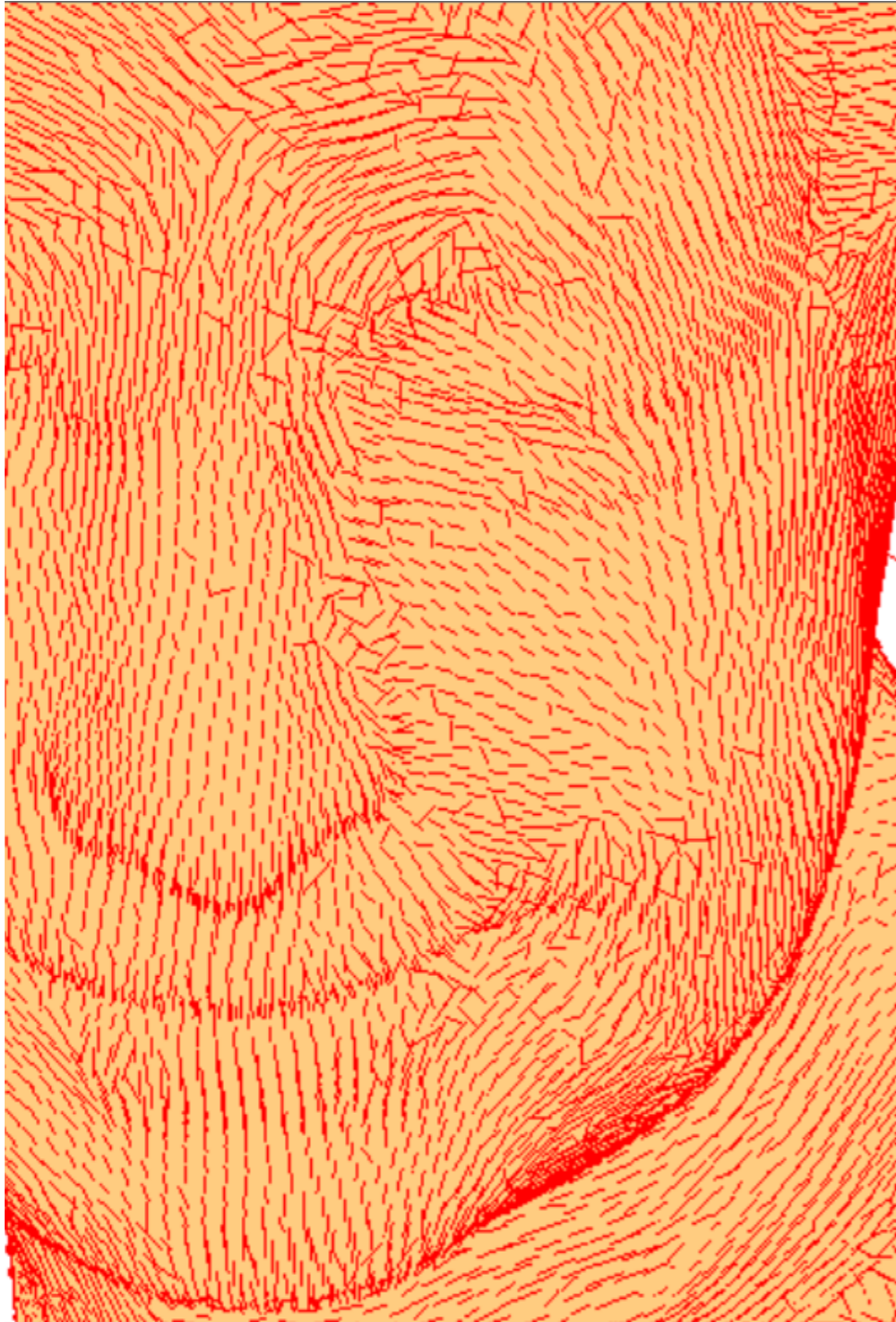
Conclusion



Résumé:

- Le k-VCM est un outil qui permet l'estimation des normale, directions de courbure sur un nuage de points.
- Stable au bruit Hausdorff et aux outliers.

Conclusion



Résumé:

- Le k-VCM est un outil qui permet l'estimation des normale, directions de courbure sur un nuage de points.
- Stable au bruit Hausdorff et aux outliers.

Prochain travaux:

- Gestion des paramètres k , R et r .
- Appliquer la méthode à des ensembles de pixels/voxels.